

Fe-Te

10

~~V-454~~

2 1888

VI 3875

Fabre

2. Ann. chim. phys. 14, 110 (1888)

FeTe, Tl<sub>2</sub>Se, Tl<sub>2</sub>Tl, Ag<sub>2</sub>Se, ZnSe, ZnTl,  
(ΔHf )

Circ. 500

W, M

F

1957

VI-1348

FeS, FeSe, FeTe (H, Hf)

Капустинский А.Ф., Голутвин Ю.М.

Ж.Физ.химии,

1951, 25, 719-31.

Эфект Ф. М.

м

СА., 1952, 2897

**Fltex**

Tl-F2

Mura.

1955

Chiba S.

J. Phys. Soc. Japan, 1955, 10, No. 9,  
837-849.

*Morreniaea choisensis* n.  
*possobae* *georgianica*  
*cucumeroides* *dealeso* - Malykh.

x-56-23-34342.

A-512

1957

CrS, CrSe, CrTe, CrAs, CrSb (Ttr)  
MnS, MnSe, MnTe, MnAs, MnSb  
FeS, FeSe, FeTe, FeAs, FeSb  
CoS, CoSe, CoTe, CoAs, CoSb  
Ni<sub>3</sub>S, NiSe, NiTe, NiAs, NiSb

Lotgering F.K., Gorter E.W.

Phys. and Chem. Solids, 1957, 3, N 3-4, 238-49

Solid solutions between ferromagnetic and antiferromagnetic compounds with NiAs structure.

PJX, 1958, 76555

Be.

E. T. Estof. K.

1958

Fe<sub>7</sub>l

E.F. Westrum, Jr. et al

TeTe<sub>2</sub>

S.X.M. 1958, No 1B, Comp 15

Te<sub>7</sub>Se<sub>8</sub>

Cp-6° 350°K

1959

Fe<sub>1,11</sub>Te (Cp, S., H<sub>T</sub>-Ho, F-H<sub>O</sub><sup>0</sup>) VI-1385

FeTe<sub>2</sub> (Cp, S., Ht-Ho, F-H<sub>O</sub><sup>0</sup>)  
T  
T

Westrum E.F., Chou Chien, Grønvold F.  
J.Chem.Phys., 1959, 30, N3, 761-64.

Heat tellurides Fe<sub>1,11</sub>Te and FeTe<sub>2</sub> from  
5 to 350°K.

RX., 1959, 81289

Be

EST/ESTD. 15.

1962

VI-2353

FeSe,

FeTe, NiTe(p)

Румянцев Ю.В., Житенева Г.М.,  
Болондзъ Ф.М.

Тр. Вост.-Сиб. фил. Сиб. отд. АН СССР, 1962,  
вып. 41, II 4.- 190

О термической устойчивости селенидов  
и теллуридов железа и никеля.

RM, 1963, 2A24

М,

F

CA, 1963, 58, #5, 41414

1965

InSb, CoSb<sub>3</sub>, CoSb<sub>2</sub>, CoSb, VI-4528

FeSb<sub>2</sub>, Fe<sub>0,52</sub>Sb<sub>0,48</sub>, CrSb<sub>2</sub>, GrSb,

Bi<sub>2</sub>Te<sub>3</sub>, Sb<sub>2</sub>Te<sub>3</sub>, FeTe<sub>2</sub>, Fe<sub>x</sub>Te<sub>1-x</sub>, In<sub>2</sub>Te<sub>5</sub>, In<sub>2</sub>Te<sub>3</sub>,

In<sub>2</sub>Te ( ▲ H, ▲ S, ▲ G)

Герасимов Я.И., Никольская А.В.,

Гейдерих В.А., Аббасов А.С.,

Вечер Р.А.

Хим.связь в полупров.и тверд.телах.Ин-т Физ.  
Тверд.Тела и полупроводн.АН БССР, 1965, IIЗ-21.  
Исслед.термодинам.свойств некоторых полупроводн.  
сплавов методом ЭДС. СА, 1966, 64, N5, 5885b

И,

О,

$\text{FeTe}_2$

Bither T.A. u.g.

1966

Solid State Comm.

1966, 4, N<sup>o</sup> 10, 533

au.  $\text{FeS}_2$

16 Б808. Энтропии атомизации бинарных кристаллических фаз (соединений) с одинаковым типом структуры. Гейдерих В. А., Герасимов Я. И. «Ж. физ. химии», 1967, 41, № 10, 2601—2604

1967

Fe<sub>0,43</sub>Te<sub>0,57</sub>

На основании анализа данных по энтропиям атомизации ( $\Delta S^{\text{ат}}$ ) фаз со структурами типов NiAs, марказита, пирита и NaCl сделано предположение, что для фаз с большой долей металлич., кооперативного, взаимодействия величины  $\Delta S^{\text{ат}}$  изоструктурных фаз близки между собой. Для фаз, характеризующихся, в основном, направленным межатомным взаимодействием, эта закономерность не соблюдается. Большое отклонение  $\Delta S^{\text{ат}}$  фазы Fe<sub>0,43</sub>Te<sub>0,57</sub> от среднего значения  $\Delta S^{\text{ат}}$  для фаз со структурой типа NiAs сопоставлено с большим отклонением состава этой фазы от состава 1:1, идеального для данного типа структуры ( наличием большого кол-ва дефектов в кристаллич. решетке фазы).

Автореферат

2. 1968. 16

Рекг. Тек., НЕСЛС-Тек., ТАКГ-Тек. (Тн)

1968

Сафаров В.В., Коршунов Б.Г.

2136. Текущ. инв. № 34666нр. № 6276

Использовано 1968, № 6, 81-83 VI 6276

Установление взаимодействия между 20-  
ную молекулой с хориодесмидом  
Э-Ф-Н-Г-О-Б.

ЕСТЬ Ф. К.

15 (P) 6

РНК, № 363

180790

VI M<sub>x</sub>X<sub>2</sub> (M<sub>x</sub>=Fe, Co, Ni; X=S, Se, Te) 7565  
a, f, c V16981

Cambi L., Elli M., Giudice E.

Chim. e ind., 1969, 51, n°, 795-810.

Decomposizione termica di  
dicalcogeruri di ferro, cobalto  
e nichel. cerchi qui  
pz, 451179 (1970). (P) MR 11

Fe<sub>2</sub>TeO<sub>6</sub>

Te

104946r Hydrothermal synthesis, chemical formula, and crystal structure of mackayite,  $\text{Fe(OH)[Te}_2\text{O}_5]$ . Pertlik, F. (Inst. Mineral. Kristallogr., Univ. Wien, Vienna, Austria). *Tschermak's Mineral. Petrogr. Mitt.* 1969, 13(3-4), 219-32 (Ger). Uncertainty regarding the formula of mackayite was resolved by the hydrothermal synthesis of  $\text{Fe(OH)(Te}_2\text{O}_5)$  at 170°. The natural formation of mackayite may correspond to the conditions of this synthesis. The previously reported cell dimensions and space group (R. V. Gaines, 1965),  $a$  11.704,  $c$  14.984 Å,  $I\bar{4}_1/acd$ ,  $Z = 16$ , were confirmed on the synthetic crystals. The structure was detd. with photographic 3-dimensional diffraction data from synthetic and natural crystals with least squares refinement to  $R = 0.072$  for 380 obsd. reflections. Fe has distorted octahedral coordination and Te is (3 + 1) coordinated. Tables of interat. distances and bond angles are given. DTA and therinogravimetric curves are reproduced. A temp. effect between 425 and 475° is ascribed to water loss and attendant oxidn. of Te to the 6-valent state yielding an anhyd. amorphous substance. An exothermic peak at 685° probably corresponds to crystn. of  $\text{Fe}_2\text{TeO}_6$  plus an unidentified constituent. The ir spectra of  $\text{Fe(OH)(Te}_2\text{O}_5)$  and  $\text{Fe(OH,OD)(Te}_2\text{O}_5)$  permit recognition of the OH-O absorption band.

A. Pabst

C.A. 1870 · 72. 20

$\text{Te}_2\text{TeO}_6$

$T_{tr}$

[BΦ-7148-VI]

Cu

u. H.  
Zn

a:  
2084.

Chem., 41 (14),

(see. Md) 7

ER  
2

Фриуїнга

Brossbygda st.  
Kjekshus st.

Acta chem. scand.,  
24 (6), 1925.

(all.  $\text{FeS}_2$ ) 7

1970

Fe - Te

20 Б739. Исследование системы Fe—Te. Абрикосов Н. Х., Дюльдина К. А., Жданова В. В. В со. «Халькогениды». Вып. 2. Киев, «Наук. думка», 1970, 98—114.

Методами термич., микроструктурного и рентгеновского анализов, а также исследованием электрофиз. св-в и теплового расширения исследована диаграмма состояния системы Fe—Te. Установлено наличие пяти промежут. фаз:  $\epsilon$ -фазы, кристаллизующейся из расплава при  $910^\circ$  и обладающей областью однородности при  $400^\circ$  42—47 ат. % Te с параметрами  $a = 3,824$ ,  $c = 6,272$  Å;  $\zeta$ -фазы, образующейся по перитектич. р-ции  $\epsilon + L \rightleftharpoons \zeta$  при  $825^\circ$  и эвтектоидно распадающейся при  $750^\circ$ ; ее состав при  $800^\circ$  — 47—48 ат. % Te;  $\eta$ -фазы, образующейся по перитектич. р-ции  $\zeta + L \rightleftharpoons \eta$  при  $772^\circ$  и распадающейся при

исслед.  
рас в  
схеме

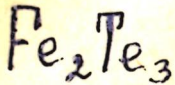
X. 1970.

20

710°; ее состав при 750°—52—53 ат.% Te; О-фазы, образующейся по перитектоидной р-ции  $\epsilon + \eta \rightleftharpoons 0$  при 722° и распадающейся при 520°; ее кристаллич. структура переходная типа  $\text{Ni}_2\text{In} \rightarrow \text{NiAs} \rightarrow \text{CdJ}_2$  с изменяющимся от 4,31 до 3,09 числом атомов в элементарной ячейке; К-фаза образуется по перитектич. р-ции  $0 + L \rightleftharpoons K$  при 615° и кристаллизуется в орторомбич. решетке структурного типа  $\text{FeS}_2$  с параметрами для  $\text{FeTe}_2$   $a = 6,263$ ,  $b = 5,278$ ,  $c = 3,862$  Å; ее состав при 400° — 66,0—67,7 ат.% Te.

Резюме

1973



(T<sub>c</sub>)

109397s Possible superconducting phase transition in iron-(III) telluride. Atzeri, S.; Mula, G. (Ist. Fis., Univ. Cagliari, Cagliari, Italy). *Solid State Commun.* 1973, 13(2), 157-8 (Eng). A superconducting phase transition is predicted for Fe<sub>2</sub>Te<sub>3</sub> on the basis of an empirical detn. of the electron-phonon coupling const.  $\lambda$ . This result is consistent with recent calcns. of the superconducting state parameters.

C.A. 1973. 79 N 18

*Fe<sub>2</sub>O<sub>3</sub>*  
*14 TeO<sub>2</sub>*

19 Б630. Фазовые равновесия и электропроводность в системе  $\text{TeO}_2$ — $\text{Fe}_2\text{O}_3$ . Magi po M. R., Kozhounagov V. S., Pavlova Y. N. Phase equilibrium and electric conductivity in the system  $\text{TeO}_2$ — $\text{Fe}_2\text{O}_3$ . «Докл. Болг. АН», 1973, 26, № 3, 343—346 (англ.)

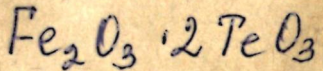
С помощью методов ДТА, микроскопич. и рентгеновского анализов, а также измерения электропроводности изучена система  $\text{TeO}_2$ — $\text{Fe}_2\text{O}_3$ . Образцы синтезированы из  $\text{TeO}_2$  (99,8%  $\text{TeO}_2$ ) и  $\text{Fe}_2\text{O}_3$  (чда) и отожжены; для ДТА использованы образцы без предв. термообработки; часть образцов была расплавлена и подвергнута изотермич. нагреву в откаченных кварцевых ампулах. Установлено образование двух соединений:  $\text{Fe}_2\text{O}_3 \cdot 4\text{TeO}_2$  и  $\text{Fe}_2\text{O}_3 \cdot 2\text{TeO}_2$ , плавящихся конгруэнтио при 713 и 770° соотв. Эвтектика, образуемая  $\text{Fe}_2\text{O}_3 \cdot 4\text{TeO}_2$  с  $\text{TeO}_2$  плавится при 585°, а эвтектика с  $\text{Fe}_2\text{O}_3 \cdot 2\text{TeO}_2$  при 628°. В системе образуется и нестабильное соединение  $\text{Fe}_2\text{O}_3 \cdot \text{TeO}_2$ , но однозначно идентифицировать эту фазу на кривых ДТА не удалось из-за восстановления  $\text{Fe}_2\text{O}_3$  и «кипения» образцов. Приведены значения  $I$  и  $d$  рентгенограмм порошка  $\text{Fe}_2\text{O}_3 \cdot 4\text{TeO}_2$ ,  $\text{Fe}_2\text{O}_3 \cdot 2\text{TeO}_2$  и  $\text{Fe}_2\text{O}_3 \cdot \text{TeO}_2$  и построена фазовая диаграмма системы  $\text{Fe}_2\text{O}_3$ — $\text{TeO}_2$  в области 0—50 мол. %  $\text{Fe}_2\text{O}_3$ . Л. В. Шведов

(Tm)

X. 1973  
N 19

Фин 1/952

1973



58256k Phase equilibrium and electric conductivity in the system tellurium dioxide-iron(III) oxide. Marinov, M. R.; Kozhukharov, V. S.; Pavlova, I. N. (Inst. Chem. Technol., Sofia, Bulg.). *Dokl. Bolg. Akad. Nauk* 1973, 26(3), 343-6 (Eng). The phase diagram of the system  $\text{TeO}_2\text{-Fe}_2\text{O}_3$  is shown, for  $\text{Fe}_2\text{O}_3$ , 0-50%. There are min. at  $585 \pm 5^\circ$  and  $\sim 13\%$   $\text{Fe}_2\text{O}_3$ ,  $628 \pm 2^\circ$  and  $\sim 26\%$ ,  $690 \pm 5^\circ$  and  $\sim 37\%$   $\text{Fe}_2\text{O}_3$ ; max. at  $713 \pm 2^\circ$  for  $\text{Fe}_2\text{O}_3\cdot 4\text{TeO}_2$ ,  $770 \pm 10^\circ$  for  $\text{Fe}_2\text{O}_3\cdot 2\text{TeO}_2$ , and possibly near  $1000^\circ$  for  $\text{Fe}_2\text{O}_3\cdot \text{TeO}_2$ . The elec. cond. at 760, 800, and  $900^\circ$  is plotted over this compn. range. The phases are discussed.

C. A. 1974. 79 n10

Tin(IV) chlo-

germanium(IV)

chloride-tin(IV),

ride, iron(II) chlo-

germanium(IV) chloride-tellurium(IV)

chloride, and iron(III) chloride-tin(IV)

chloride-tellurium(IV) chloride systems.

Fes'kova V. I.

Zh Neorg. Khim. 1974, 19(2), 514-20

(Russ)

C.A. 1974, 80, 18.

(all GeCl<sub>4</sub>; T)

Fe<sub>2</sub>Te<sub>3</sub>

1974

(Ttx)

161339b Magnetization Moessbauer effect and superconductivity in iron(III) telluride. Hermon, Erika; Muir, W. B.; Quaroni, J.; Sweet, R. C. (Chem. Dep., McGill Univ., Montreal, Que.). *Can. J. Phys.* 1974, 52(18), 1800-4 (Eng). The magnetization and Moessbauer effect in Fe<sub>2</sub>Te<sub>3</sub> were measured between liq. He temps. and 300°K and the Meissner effect was studied between 1.7 and 4.2°K. Both the Moessbauer effect and the magnetization indicate that Fe<sub>2</sub>Te<sub>3</sub> undergoes a weak ferromagnetic transition at ~10°K and has an internal field of 11 kOe at the lowest temps. The superconducting transition predicted by Atzeri-and Mula was not obsd. Above 10°K the temp. variation of the susceptibility is probably a reflection of the energy dependence of the d band d. of states on the Pauli spin susceptibility of the material.

C.A. 1974. 81 N24

50204.6702

ch, (TC)

46505

1974

FeTex (сплав)

148151

Ipser H., Komarek K.L. Thermodynamic  
properties of iron - tellurium alloys.

"Monatsh. Chem.", 1974, 105, N 6,

1344-1361

(англ.)

271 271

023 6

023 5 тип

ВИНИТИ

1974

Te-Fe

Maree S. et al.

stud. Univ. Badische-Bolyai

Δ H<sub>v</sub>  
Δ H<sub>s</sub>

Set. Chem. 1974, 19(2), 41-5

C.A. 1975 83 n8

Cu Te<sub>2</sub>; I

FeTe

FeTe<sub>2</sub>

(Cp)

БР-XVII-298

7 Б917. Термоемкость нестехиометрических FeTe и FeTe<sub>2</sub> в интервале температур от комнатной до 900° К. Mikler J., Ipsen H., Komarek K. L. Spezifische Wärmem. von  $\approx$  FeTe und FeTe<sub>2</sub> von Raumtemperatur bis 900K. «Monatsh. Chem.», 1974, 105, № 5, 977—986 (нем.; рез. англ.)

Для фаз Fe<sub>0,527</sub>Te<sub>0,473</sub> (I) и Fe<sub>0,324</sub>Te<sub>0,676</sub> (II), образующихся в системе Fe—Te, методом дифференциальном сканирующей калориметрии определены теплоемкости в области т-р от комн. до 900° К. МНК рассчитаны коэф. ур-ния  $C_p$  (кал/град·г-ат) =  $a + bT + cT^{-2}$ , равные соотв.: I — 4,8649;  $3,65137 \cdot 10^{-3}$  и  $2,72077 \cdot 10^4$ ; II — 0,1720;  $1,27794 \cdot 10^{-2}$  и  $1,97058 \cdot 10^5$ . Показано, что функция, наилучшим образом описывающая изменение теплоемкости I и II от т-ры, представляет собой полином 4-й степени вида  $C_p$  (кал/град·г-ат) =  $-3 \cdot 10^4 + 4,41527 \cdot 10^{-2}T - 1,105576 \cdot 10^{-4}T^2 + 1,230823 \cdot 10^{-7}T^3 - 4,82037 \cdot 10^{-11}T^4$  для I, и  $C_p = -4,6112 + 9,3284 \cdot 10^{-2}T - 3,065177 \cdot 10^{-4}T^2 + 4,385721 \cdot 10^{-7}T^3 - 2,149373 \cdot 10^{-10}T^4$  для II. Для I и II отмечается значительное повышение теплоемкости с повышением т-ры с 500 и 400° К соотв. На основании эксперим. и лит. данных рассчитаны и табулированы с

X. 1975. № шагом 50° значения энталпий и эндропий I и II.  
В. К. Андреев

-753

1974

FeTe

FeTe<sub>2</sub>

(C<sub>p</sub>)

1978

ВР-ХМ-

4 Е319. Теплоемкость  $\approx$ FeTe и FeTe<sub>2</sub> в диапазоне от комнатной температуры до 900° К. Mikler J., Irsig H., Komatek K. L. Spezifische Wärmen von  $\approx$ FeTe und FeTe<sub>2</sub> von Raumtemperatur bis 900 К. «Monatsh. Chem.», 1974, 105, № 5, 977—986 (нем.; рез. англ.)

С помощью динамич. сканирующего калориметра определена теплоемкость  $C_p$  Fe<sub>0,527</sub>Te<sub>0,473</sub> ( $\beta$ -фаза) и Fe<sub>0,324</sub>Te<sub>0,676</sub> ( $\alpha$ -фаза). Для  $\beta$ -фазы  $C_p$  определена в диапазоне т-р 355—905° К, для  $\alpha$ -фазы — в диапазоне 355—805° К. Зависимость  $C_p$  от т-ры передается полиномом. Наблюдается заметное отклонение от правила Неймана — Коппа. На основании полученных значений  $C_p$  и литературных данных вычислены энталпия и энтропия.

Ю. П. Захаров

9.1975. N 4

FeTe

X 4 - 7531

4974

Fe Te<sub>2</sub> (I)

B9-XVI-2280

Cp  
m. g. q-yue

22495k Specific heats of approximately stoichiometric iron telluride and iron ditelluride from room temperature to 900°K. Mikler, J.; Ipser, H.; Komarek, K. L. (Inst. Angew. Chem., Univ. Wien, Vienna, Austria). *Monatsh. Chem.* 1971, 105(5), 977-86 (Ger). The specific heats of approx. stoichiometric FeTe [12125-63-2] and FeTe<sub>2</sub> [12023-03-9] in the solid state were measured by dynamic calorimetry. The results were expressed by a 4th order polynomial. The exptl. values beginning for FeTe<sub>2</sub> at 400°K and for ≈FeTe at 500°K, show a marked increase with increasing temp. Other thermodynamic functions were calcd. using data from literature.

C.A. 1975 82 NY

FeTe<sub>2</sub>(mc)      curve of Temperature 1974

FeTe<sub>2</sub>(mc)

Mills H. C.

FeTe<sub>x</sub>

Thermodyn. Data for

Inorganic Sulfides, Se-  
lenides and Tellurides.

Part II. London: Butter-  
worths. 1974.

$\text{FeCl}_3 \cdot \text{TeCl}_4$

(Tm)

FeCl<sub>3</sub> · TeCl<sub>4</sub>, Kh. K.;  
Sapon. V. V.

Zn. Norg. Khim., 1974, 19(2),  
517-20 (Russ.)

Iron (III) chloride - germanium  
(IV) chloride - tin (IV) chloride  
iron(II) chloride - germanium(IV)  
chloride - tellurium (IV) chloride  
and iron(III) chloride - tin(IV)

(cн. на одоже)

C.A. 1974. 80. N18.

chloride-tellurium (IV),  
chloride systems.

(see GeCl<sub>4</sub>; I)

FeTe<sub>x</sub>

(ΔH)

11 Б1049. Термодинамические свойства сплавов геллур — железо. Ipsen H., Komagaki K. L. Thermodynamic properties of iron—tellurium alloys. «Monatsh. Chem.», 1974, 105, № 6, 1344—1361 (англ.)

1974

Изопиестическим методом измерено давл. пара Te над сплавами системы Fe—Te в т-рном интервале 550—900° и конц.-ионной области 0,67 ат.% Te. С помощью ур-ния Гиббса-Дюгема на основании полученных данных вычислены активности и парц. мол. энталпии Te и интегральная свободная энергия образования сплавов. При рентгенографич. идентификации сплавов было установлено образование фаз  $\beta$ ,  $\beta'$ ,  $\gamma$ ,  $\delta$ ,  $\delta'$  и  $\epsilon$ . Фазы  $\delta$  и  $\delta'$  являются моноклинно искаженной и гексагон. фазами, со структурой типа NiAs (состав  $Fe_{1+x}Te$ ), а  $\epsilon$ -фаза отвечает составу  $Fe_2Te$  и при понижении т-ры медленно образуется из фазы  $\delta'$  как за счет собственного зародышеобразования, так и за счет медленной диффузии атомов Te. Области устойчивости фаз в системе Fe—Te сильно меняются с ростом т-ры. Из расчета активностей Fe и Te в  $\delta'$ -фазе с помощью статистич. моделей установлено случайное распределение атомов Fe и катионных вакансий в дефектных слоях крист. решетки  $\delta'$ -фазы (001/2). Вычисленная энергия взаимодействия между катионными вакансиями составляет 820 кал/г-атом. И. С. Шаплыгин

Х 1975 N 11

FeTe<sub>0,9</sub>

845-8056

1974

12 Б839. Системы переходный металл — халькоген.  
V. Фазовая диаграмма железо — теллур. Ipsen H.,  
Komarek K. L., Mikler Helga. Transition metal —  
chalcogen systems, V. The iron — tellurium phase diagram.  
«Monatsh. Chem.», 1974, 105, № 6, 1322—1334 (англ.).

(T<sub>Tc</sub>)

Методами ДТА, РФА и изопиеснич. измерений до 1100° исследована система Fe—Te. Показано, что тетрагональная модификация  $\beta$  ( $\approx$  FeTe<sub>0,9</sub>) с областью гомогенности от 45,9 до 48,1 ат. % Te (I) при 715° стабильна от комнатной температуры до 844°, при к-рой она перитектоидно разлагается на Fe и ромбоэдрич. высокотрехугольную форму  $\beta'$  ( $\approx$  FeTe<sub>0,9</sub>). При 914°  $\beta'$  форма перитектически разлагается на Fe и жидкость, а при 800° по эвтектоидной

X. 1975. 7/2

$\beta$ -цин на  $\beta$  и  $\gamma$  ( $\approx \text{FeTe}_{1,2}$ ).  $\gamma$ -Форма существует между  $809^\circ$  ( $\gamma \rightarrow \beta' + \delta$ ) и  $636^\circ$  ( $\gamma \rightarrow \beta + \delta$ ). Моноклиническая искаженная фаза  $\delta$  типа NiAs разлагается перитектически при содержании 55,2 ат. % I при т-ре  $812^\circ$  на  $\beta'$  и жидкость и стабильна до образования эвтектоида  $\delta \rightleftharpoons \beta + \beta'$  при  $565 \pm 15^\circ$  и 58,8 ат. % I. Гексагон. форма  $\delta'$  типа NiAs отделена узкой двухфазной областью от  $\delta$ -формы. Максим. ширина области гомогенности  $\delta'$  при  $650^\circ$  от 59,2 до 65,1 ат. %. I находится между т-рами превращений: эвтектоидного  $\delta' \rightleftharpoons \beta + \epsilon$  при  $519^\circ$  и перитектич.  $\delta + L \rightleftharpoons \delta'$  при  $766^\circ$ . Орторомбич.  $\epsilon$  ( $\approx \text{FeTe}_{2,0}$ ) стабильна от коми. т-ры до т-ры перитектики  $\delta' + L = \epsilon$  при  $649^\circ$ .  $\epsilon$  модификация и I образуют «вырожденную» эвтектику при  $446^\circ$ .  
Сообщ. IV см. РЖХим, 1974, 1Б815. В. А. Трифонов

*Fe<sub>1,125</sub>Te*

1975

21 Б464. Антиферромагнитная структура  $Fe_{1,125}Te$ , сопровождающаяся моноклинной деформацией. Fuchschart D., Convert P., Wolfers P., Madar R., Senateur J. P., Fruchart R. Structure antiferromagnetique de  $Fe_{1,125}Te$  accompagnée d'une déformation monoclinique. «Mater. Res. Bull.», 1975, 10, № 3, 169—174 (франц., рез. англ.)

Проведены рентгенографич., нейтронографич. (метод порошка  $\lambda = 2,44 \text{ \AA}$ ) и магнитное исследования  $Fe_{1,125}Te$ . Параметры  $a$  и  $c$  тетрагональной решетки парамагнитной фазы при  $T = 300^\circ \text{ K}$   $3,824$  и  $6,281 \text{ \AA}$  соотв. При  $T$  ниже  $63^\circ \text{ K}$  происходит антиферромагнитное упорядочение, сопровождающееся монокл. деформацией решеток, параметры которой при  $T = 4,2^\circ \text{ K}$ :  $a = 3,843$ ,  $b = 3,791$ ,  $c = 6,264 \text{ \AA}$ ,  $\beta = 89,2^\circ$ . Магнитный момент атомов Fe  $2,07 \mu_B$ .

И. В. Булгаровская

Х 1975 № 2

1975

FeTe<sub>1-x</sub>Fe<sub>5</sub>Te<sub>6</sub>

(Tet)

36653w Magnetic measurements in the iron-tellurium system. Komarek, Kurt L.; Terziess, Peter (Inst. f. Anorg. Chem., Univ. Wien, Vienna, Austria). *Monatsh. Chem.* 196(1), 145-57 (Ger). Susceptibility measurements at 100-300° were performed on the various phases of the binary Fe-Te system. The  $\beta$ -phase ( $\text{FeTe}_{1-x}$ ) and the  $\gamma$  phase ( $\text{Fe}_5\text{Te}_6$ ) follow the Curie-Weiss law, showing an antiferromagnetic behavior with neg. Weiss constns. of  $\sim -192$  and  $\sim -314^\circ\text{K}$  resp. The magnetic moments shows that these 2 phases are high spin compds. of Fe. The increase, with Fe enrichment, of the magnetic moment in the  $\beta$ -phase is explained in terms of a simple model, involving occupation of octahedral interstices in the anion sublattice by excess Fe. The moment of the  $\gamma$ -phase (3.83  $\mu\text{B}$ ) is almost equal to that of the hypothetical equiat. compd.  $\text{FeTe}$  (3.87  $\mu\text{B}$ ) obtained by extrapolation, and is interpreted as due to the existence of 3 unpaired 3d electrons per formula unit. In the Te-rich  $\delta(\text{Fe}_{1-x})$ -,  $\eta(\text{Fe}_{1-x})$ -, and  $\epsilon(\text{FeTe}_6)$ -phases, the transition metal is supposed to be in the low spin state. The obd. Pauli paramagnetism is not temp.-dependent, but decreases with increasing temp. Below 100°K,  $\text{FeTe}_6$  is diamagnetic.

e.a. 1975.

83 NY

FeTe<sub>2</sub>

1975

Kjekshus Arne.

Tb

Acta Chem Scand

Ser. A. 1975, A 29(4)

443-52 (eng)

(all FeS<sub>2</sub>; I)

$\text{FeTe}_{3c}$

1975

Maezawa Takashi et. al.

$\Delta H\text{soln}$  of Te

J. Chem Thermodyn  
1975, 7(5) 505-6 (Eng)

(all clrs; T)

Fe<sub>2</sub>Te<sub>3</sub>O<sub>9</sub>

1975

20 В28 Деп. Получение теллуритов железа и хрома из водных растворов и их поведение при нагревании. Соколов Ю. Н., Сампливская К. К., Карапетьянц М. Х. (Редколлегия «Ж. физ. химии» АН СССР). М., 1975. 12 с., ил., библиогр. 4 назв. (Рукопись деп. в ВИНИТИ 24 июня 1975 г., № 1887—75 Деп.)

(Tm)

Из водн. р-ров синтезированы аморфные соли состава  $\text{Fe}_2\text{Te}_3\text{O}_9 \cdot 2\text{H}_2\text{O}$  (I) и  $\text{Cr}_2\text{Te}_3\text{O}_9 \cdot 5\text{H}_2\text{O}$  (III). Изучено поведение I при нагревании на воздухе. Показано, что при  $160^\circ$  I обезвоживается, при  $550^\circ$  кристаллизуется и при  $685^\circ$  конгруэнтно плавится. Изучено поведение II при нагревании в атмосфере азота. Показано, что при  $165^\circ$  II обезвоживается, при  $620^\circ$  кристаллизуется и при  $880^\circ$  конгруэнтно плавится. Расплавы  $\text{Fe}_2\text{Te}_3\text{O}_9$  и  $\text{Cr}_2\text{Te}_3\text{O}_9$  после охлаждения переходят в стеклообразное состояние. Определены уд. веса I и II. Автореферат

Х 1975 № 20

+1 8

$\text{Fe}_2\text{O}_3 \cdot 3\text{TeO}_2$

1975

21 Б1083 Деп. Исследование  $\text{TeO}_2-\text{Fe}_2\text{O}_3$  методом термографии. Соколов Ю. Н., Самилавская К. К., Карапетьянц М. Х. (Редколлегия «Ж. физ. химии» АН СССР). М., 1975. 8 с., ил., библиогр. I назв. (Рукопись деп. в ВИНИТИ 24 июня 1975 г., № 1889—75 Деп.).

(Ти)

Методами термографич., хим. и рентгенофазового анализов изучена система  $\text{TeO}_2-\text{Fe}_2\text{O}_3$  в области 100—50 мол.%  $\text{TeO}_2$ . Обнаружено существование конгруэнтно плавящегося при  $690^\circ$  соединения  $\text{Fe}_2\text{O}_3 \cdot 3\text{TeO}_2$ . В интервале 95—50 мол.%  $\text{TeO}_2$  наблюдается стеклообразование. Т-ра кристаллизации стеклообразной фазы  $555^\circ$ .

Автореферат

оे 1975 № 1

$\text{Fe}_2\text{Te}_3\text{O}_9 \cdot 2\text{H}_2\text{O}$

7975

$\text{Cr}_2\text{Te}_3\text{O}_9 \cdot 5\text{H}_2\text{O}$

(Tm)

84: 53271e Preparation of iron and chromium tellurites from aqueous solutions and their behavior during heating. Sokolov, Yu. N.; Samplavskaya, K. K.; Karapet'yants, M. Kh. (Mosk. Khim.-Tekhnol. Inst. im. Mendeleeva, Moscow, USSR). *Zh. Fiz. Khim.* 1975, 49(10), 2719 (Russ). Addnl. data considered in abstracting and indexing are available from a source cited in the original document. Amorphous salts of the compn.  $\text{Fe}_2\text{Te}_3\text{O}_9 \cdot 2\text{H}_2\text{O}$  and  $\text{Cr}_2\text{Te}_3\text{O}_9 \cdot 5\text{H}_2\text{O}$  were obtained from aq. solns. During heating of  $\text{Fe}_2\text{Te}_3\text{O}_9 \cdot 2\text{H}_2\text{O}$  in air, dehydration occurred at  $160^\circ$ , crystn. at  $550^\circ$ , and congruent melting at  $685^\circ$ . During heating of  $\text{Cr}_2\text{Te}_3\text{O}_9 \cdot 5\text{H}_2\text{O}$  in N, dehydration was obsd. at  $165^\circ$ , crystn. at  $620^\circ$ , and congruent melting at  $860^\circ$ .  $\text{Fe}_2\text{Te}_3\text{O}_9 \cdot 2\text{H}_2\text{O}$  and  $\text{Cr}_2\text{Te}_3\text{O}_9 \cdot 5\text{H}_2\text{O}$  melts are converted to the glassy state on cooling.

④



C.A. 1976 84 18

$\text{Fe}_2\text{Te}_3\text{O}_9 \cdot 2\text{H}_2\text{O}$

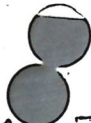
1976

Соколов И. Н.

( $\Delta H_f$ )

clock. хим. метод. ИК-т  
авт. Менделеева и др., 1976,  
5 с, авт. добавления. Грав.

(Рукопись гос. в ВИХУМУ  
27 ОКТ. 1976, № 3796-76 ден)



(авт.  $\text{Cr}_2\text{Te}_3\text{O}_9 \cdot 5\text{H}_2\text{O}$ , I

FeTe<sub>2</sub> (rb.)

1977

Barin Y., et al

298 - 933

mod II, cup. 253

• (ccw Ag) I

FeTe<sub>0.9</sub>

1977

Basim Y., et al

298-1200 (°K) mol II, cmp. 253

● (car Ag) I

1977

$\text{Fe}_2\text{Te}_5$   
 $\text{Fe}_2\text{Te}_3\text{O}_9$   
 $\text{Fe}_2\text{Te}_4\text{O}_{11}$

Температура  
парашефта  
реакции

12 Б944. Магнитное исследование фаз в системе  $\text{Fe}_2\text{O}_3-\text{TeO}_2$ . Магнитная структура  $\text{Fe}_2\text{TeO}_5$  при  $4,2^\circ\text{K}$ . Jumas J. C., Wintenberger M., Philippot E. Etude magnetique des phases du systeme  $\text{Fe}_2\text{O}_3-\text{TeO}_2$ . Structure magnetique de  $\text{Fe}_2\text{TeO}_5$  à  $4,2^\circ\text{K}$ . «Mater. Res. Bull.», 1977, 12, № 11, 1063—1070 (франц.; рез: англ.)

С помощью измерения зависимости магнитной восприимчивости изучены соединения  $\text{Fe}_2\text{TeO}_5$  (I) в интервале т-р  $4,2-460^\circ\text{K}$ ,  $\text{Fe}_2\text{Te}_3\text{O}_9$  (II) и  $\text{Fe}_2\text{Te}_4\text{O}_{11}$  (III) в интервале т-р  $77-300^\circ\text{K}$ . I и III являются моноклинными ( $P2_1/c$ ,  $Z=4$ ) с параметрами решетки: I  $a$  7,665 Å,  $b$  4,934 Å,  $c$  10,815 Å,  $\beta$  103,10°; III  $a$  11,88 Å,  $b$  6,95 Å,  $c$  14,13 Å,  $\beta$  123,44°. II имеет ромбич. структуру  $a$  9,505 Å,  $b$  7,503 Å,  $c$  11,003 Å,  $Z=4$ ,  $Pnma$ . Парамагнитная т-ра Кюри соответствует  $-75$  и  $-118^\circ\text{K}$  для II и III соотв. Эффективный магнитный момент II

x, 1978, № 2

и III на атом Fe<sup>3+</sup> составляет 5,84 и 6,01 мв соотв.  
I является антиферромагнетиком с т-рой Нееля ~ 360° К.  
Из сопоставления рентгенографич. и магнитохимич.  
данных определена магнитная структура I, в результа-  
те чего установлен тип магнитного взаимодействия меж-  
ду атомами Fe, находящимися в различных неэквива-  
лентных кристаллографич. позициях. В результате оп-  
ределения магнитной структуры I показано, что I  
принадлежит к пространственной группе  $P2_1/c$  по  
Шубникову.

А. А. Захаров

1984

# Fe<sub>2</sub>TeO<sub>5</sub>

88: 44205s Magnetic study of the phases of the ferric oxide-tellurium dioxide system. Magnetic structure of iron tellurate (Fe<sub>2</sub>TeO<sub>5</sub>) at 4.2 K. Jumas, J. C.; Wintenberger, M.; Philippot, E. (Lab. Chim. Miner. C, Univ. Sci. Tech. Languedoc,

Montpellier, Fr.). *Mater. Res. Bull.* 1977, 12(11), 1063-70 (Fr). The magnetic study of the 3 compds. isolated in the Fe<sub>2</sub>O<sub>3</sub>-TeO<sub>2</sub> system is described. Among them, Fe<sub>2</sub>TeO<sub>5</sub> is antiferromagnetic with  $T_N \approx 360$  K. The magnetic structure is discussed and corresponds with the P2<sub>1</sub>/c Shubnikov group.

Hx

C.A. 1988, 88, N6

$\text{Fe}_2\text{Fe}_3\text{O}_9 \cdot 2\text{H}_2\text{O}$       Омск 15124 1974

Соколов А. Г. и др.

А. Г.

"Ж. природы," 1974, 51,  
Nо 19, 2367-2369.



$\text{Fe}_2\text{Fe}_3\text{O}_9 \cdot 5\text{H}_2\text{O} \cdot \overline{5}$

$\text{Fe}_x \text{Te}_3 \text{O}_9$

1974

Zholanov V. N. et al.

Zh. Fiz. Khim. 1974, 51(9),

Cp, OH, SS, SG 2404.

all.  $\text{CoTe}_6\text{O}_{13} - I$

Fe<sub>2</sub>T<sub>e</sub><sub>3</sub>O<sub>9</sub>

1947

Мданов B.II. "pp.

(Cp)

Рук. науч. б BULLETTI  
N 954 - 74 Det.

(Cu, Co Te<sub>6</sub>O<sub>13</sub>; I)

$\text{Fe}_2\text{TeO}_6$

1979

Birchall J.

J. Solid State Chem.

1979, 27, N3, 293-98

$T_N$

all.  $\text{Cr}_2\text{TeO}_6$  -<sup>1</sup>

ЗМ.ЧССК 12582 | 1981

$Fe_2Te_3O_9$

$Fe_2Te_4O_{11}$

$T_{zr}$

2 Б769. Исследование методом мессбауэровской спектроскопии магнитных свойств теллуритов железа  $Fe_2Te_3O_9$  и  $Fe_2Te_4O_{11}$ . Магнитная структура  $Fe_2Te_4O_{11}$  при 4,2 К. Jumas J.C., Fourges L., Wintenberger M., Philippot E. Propriétés magnétiques et étude par spectroscopie Mössbauer des tellurites de fer  $Fe_2Te_3O_9$  et  $Fe_2Te_4O_{11}$ : structure magnétique de  $Fe_2Te_4O_{11}$  à 4,2 К. «J. Solid State Chem.», 1981, 39, № 1, 39—48 (франц.)

Исследованы мессбауэровские спектры и выполнены измерения магнитных восприимчивостей для антиферромагнитных теллуритов  $Fe_2Te_3O_9$  (I) и  $Fe_2Te_4O_{11}$  (II). Т-ры магнитных переходов, определенные из мессбауэровских спектров, равны для I, II 34 и 27 К соотв. Значения хим. сдвигов мессбауэровских спектров, равные при 295 К 0,35 и 0,39 мм/с, типичны для высокоспиновых соединений  $Fe(3+)$  с октаэдрич. координацией железа. Нейтронографич. данные использованы для определения магнитной структуры I при 4,2 К. Показано существование в I, II антиферромагнитного взаимодействия между ионами  $Fe^{3+}$ , принадлежащими группам  $[Fe_2O_{10}]$ .

Из резюме

X.1982, 19АБ, №

*Fe<sub>2</sub>Te<sub>3</sub>O<sub>9</sub>*

1981

10 Б519. Магнитная структура Fe<sub>2</sub>Te<sub>3</sub>O<sub>9</sub> при 4,2 К.  
Wintenberger M., Jumas J. C. Structure magnétique de Fe<sub>2</sub>Te<sub>3</sub>O<sub>9</sub> à 4,2 K. «Phys. status solidi», 1981,  
A68, 11—18 (франц.; рез. англ.)

Нейtronографически (метод порошка, съемка образца в интервале  $0 < \theta < 23,5^\circ$  при 4,2 и 77 К,  $\lambda = 2,475\text{\AA}$ ) определена магнитная структура Fe<sub>2</sub>Te<sub>3</sub>O<sub>9</sub>:  $a = 9,47$ ,  $b$

*T<sub>tr</sub>*

7,48,  $c = 10,9\text{\AA}$ ,  $Z = 2$ , ф. гр. *Pnma*, ионы Fe занимают позицию 8 D (см. Astier и др. Chim Minerale, 1975, 13, 359). Т-ра фазового перехода  $T_N = 34$  К. При  $T < T_N$  наблюдается пространственное упорядочение магнитных моментов  $\mu$  ионов Fe<sup>3+</sup> с величиной вектора  $q = 0,125_6 b^*$ . Найдены значения углов между  $\mu$ . Ориентация может быть установлена и расчетным путем с помощью матрицы взаимодействия, включающей в себя 8 изотропных обменных интегралов, соотв-щих связям Fe—

X, 1982, 19, N 10.

O—Fe или Fe—O—Fe—O—Fe. В получаемой таким образом модели  $q$  может характеризоваться либо типом  $q_x, 0, q_z$ , либо  $0, q_y, 0$ . В последнем случае соотв-щая величина угла между  $M$  согласуется со значением, найденным из эксперимента.

И. Д. Датт

1982

 $FeTe_{1+x}$ 

14 Б737. Энталпия образования и структура нестехиометрического теллурида железа. Владимира В. А., Звинчук Р. А., Морозова М. П., Панкратова О. Ю. «Ж. физ. химии», 1982, 56, № 3, 565—569

Проведены рентгенографич. и калориметрич. исследования теллуридов железа переменного состава  $FeTe_{1+x}$  (где  $0,25 < x < 0,90$ ). Установлено, что область гомогенности «монотеллурида» железа со структурой, стремящейся к «типу  $CdJ_2$ » при 973 К, лежит от  $FeTe_{1,45}$  до  $FeTe_{1,65}$ . Для состава  $Fe_5Te_8(FeTe_{1,60})$  предположена возможная локальная симметрия отдельного «пустеющего» слоя. В высокот-рном вакуумном блочном калориметре по тепловому эффекту р-ций прямого взаимодействия элементов, взятых в соотв-щих стехиометрич. кол-вах, определены стандартные энталпии образования теллуридов железа с погрешностью 3350 кДж/кг-формулу  $FeTe_{1,45} - 34750,4$ ;  $FeTe_{1,50} - 35169,1$ ;  $FeTe_{1,55} - 37262,5$ ;  $FeTe_{1,60} - 39355,9$ ;  $FeTe_{1,65} - 38518,6$  кДж/мг-формулу.

Резюме

$\Delta H_f$ ,  
структур

1982, 19, N 14.

$\text{FeTe}_{1-x}$

1982

97: 12704y Enthalpy of formation and structure of nonstoichiometric iron telluride. Vladimirova, V. A.; Zvinchuk, R. A.; Morozova, M. P.; Pankratova, O. Yu. (Leningr. Gos. Univ., Leningrad, USSR). *Zh. Fiz. Khim.* 1982, 56(3), 565-9 (Russ). Iron tellurides,  $\text{FeTe}_{1+x}$  ( $0.25 \leq x \leq 0.90$ ), were studied calorimetrically and by x-rays. The homogeneous region of the monotelluride with  $\text{CdI}_2$  structure at 973 K extends to the compn.  $\text{FeTe}_{1.45}-\text{FeTe}_{1.65}$ . Phase structures are discussed. The heats of formation of different  $\text{FeTe}_{1+x}$  were detd.

$\Delta_f H_i$

C.A. 1982, 97, N2.

$\text{Fe}_2\text{Te}$

1982

12 Е801. Термодинамические свойства разбавленных растворов водорода в интерметаллических соединениях  $\text{Fe}_2\text{Ti}$  и  $\text{FeTi}$ . Жирнова В. В., Могутнов Б. М. «Ж. физ. химии», 1982, 56, № 9, 2146—2150

Волюметрическим методом в интервале 400—1000° С измерена растворимость водорода в сплавах Fe—Ti, фазовый состав которых отвечает области интерметаллич. соединений. Показано, что при  $p\text{H}_2 = 130 \div 800$  ГПа растворы водорода в интерметаллидах подчиняются закону Сивертса. Определены энталпия и энтропия растворения водорода в  $\text{Fe}_2\text{Te}$  и  $\text{FeTi}$ . Обсуждены закономерности изменения термодинамич. свойств водорода в фазах Лавеса. Библ. 25. Резюме

$\Delta H$

(+)

⊗



φ. 1982, 18, N 12.

Fe Te<sub>0.9</sub>(κ) Saha B., Viswanath-  
har R., et al. 1984.

IUPAC Conf. Chem. Thermi-  
dyn. and 39th Calorimet-  
ry, Conf. Joint Meet., Hamil-  
ton, Aug. 13-17, 1984. Prog-  
ram and Abstr. S. I. s.a.,  
140. (See. Te<sub>n</sub>(κ); I)

$FeTe_{0.9}(K)$

1985

102: 1933753 High-temperature mass-spectrometric studies of solid tellurium and solid iron telluride ( $FeTe_{0.9}$ ). Saha, B.; Viswanathan, R.; Saibaba, M.; Raj, D. Darwin Albert; Balasubramanian, R.; Karunasagar, D.; Mathews, C. K. (Radiochem. Progr., React. Res. Cent., Kalpakkam/Tamil Nadu, 603102 India). *J. Nucl. Mater.* 1985, 130, 316-25 (Eng). The nature and compn. of the vapor over a 2 phase mixt. of  $Fe(s)$  and  $FeTe_{0.9}(s)$  as well as over  $Te(s)$  were detd. by Knudsen effusion w/ spectrometry in view of understanding fast reactor fuel-cladding interaction. The partial pressure-temp. relation of  $Te_2(g)$ , and that of  $Te(g)$ , were obtained over  $Fe-FeTe_{0.9}(s)$  in the temp. range 885-1048 K. The enthalpy change for reactions  $FeTe_{0.9}(s) \rightleftharpoons Fe(s) + 0.45 Te_2(g)$ ;  $FeTe_{0.9}(s) = Fe(s) + 0.9 Te(g)$  and  $Te_2(g) = 2 Te(g)$  were derived as  $98.5 \pm 7$ ,  $214.4 \pm 14$  and  $257.0 \pm 13$  kJ resp. at 298 K. The enthalpy and free energy of formation of  $FeTe_{0.9}(s)$  at 298 K were detd. as  $-28.5$  kJ mol<sup>-1</sup> and  $-29.4$  kJ mol<sup>-1</sup> resp.

$\Delta fH, \Delta fG$

C.A. 1985, 102, N 22

Xankorevug Fe 1987

Fe - Te

FeTe

(Δ<sub>f</sub>H)

106: 183548j Heat of formation of iron chalcogenides. The iron-tellurium system. Burylev, B. P. (Kuban. Gos. Univ., Krasnodar, USSR). Izv. Vyssh. Uchebn. Zaved., Chern. Metall. 1987, (2), 1-3 (Russ.). A relation of the author (1969) for the estn. of the vacancy positions in the sublattices of metallic atoms was applied to the systems Fe-chalcogenide, and more particularly Fe-Te. The equation allows one to calc. partial and integral heats of formation. Both have neg. values.

C. A. 1987, 106, N 22

FePex

OM 30804

1988

110: 29598b : Vaporization thermodynamics of (iron + tellurium): a high-temperature mass-spectrometric study. Baba, M. Sai; Viswanathan, R.; Balasubramanian, R.; Raj, D. Darwin Albert; Seha, B.; Mathews, C. K. (Radiochem. Programm., Indira Gandhi Cent. At. Res., Kalpakkam, 603 102 India). *J. Chem. Thermodyn.* 1988, 20(10), 1157-73. (Eng.). Vaporization of (iron + tellurium) alloys was studied by using Knudsen-effusion mass spectrometry. The partial pressures of  $\text{Te}_2(\text{g})$  and  $\text{Te}_3(\text{g})$  over the two-phase fields  $\{\text{FeTe}_{0.994}(\text{s}) + \text{FeTe}_{1.994}(\text{s})\}$  and  $\{\text{FeTe}_{0.939}(\text{s}) + \text{FeTe}_{1.451}(\text{s})\}$  were detd. in the temp. ranges 659-759 K and 803-818 K resp. The partial pressures over the two-phase field  $\{\text{FeTe}_{0.939}(\text{s}) + \text{FeTe}_{1.427}(\text{s})\}$  were detd. at 868 K. Enthalpy or Gibbs energy changes were derived from the partial pressures for the equil.:  $\text{FeTe}_x(\text{s}) = \text{FeTe}_y(\text{s}) + (x - y)/i\text{Te}_i(\text{g})$ , where  $x = 1.994$  ( $\epsilon$ -phase), 1.451 ( $\delta'$ -phase), and 1.427 ( $\delta$ -phase), and  $y = 0.939$  ( $\beta$ -phase) with  $i = 2$  or 3. The phase boundaries of the  $\beta$ -phase at 868 K were delineated by a continuous monitoring of the intensity of  $\text{Te}_2^+$  as a function of time, starting with a sample having 72.9 mass per cent of Te. Activities of Te were detd. and those of Fe computed as functions of compn. of the  $\beta$ -phase, by using Gibbs-Duhem integration. Chem. potential differences of Te and Fe and, thus, the Gibbs free energy of formation of the  $\beta$ -phase, were deduced across the homogeneity range. Enthalpies or Gibbs free energies of formation of the phases  $\beta$ ,  $\epsilon$ ,  $\delta'$ , and  $\delta$  were derived.

( $\Delta H$ ,  $\Delta f$ )

C.A.1989, 110, n4

FeTe

Ок 30804 1988

) 15 Б3048. Термодинамика испарения системы железо—теллур: высокотемпературное масс-спектрометрическое исследование. Vaporization thermodynamics of (iron+tellurium): a high-temperature mass-spectrometric study / Baba M. Sai, Viswanathan R., Balasubramanian R., Darwin D., Raj Albert, Saha B., Mathew C. K. // J. Chem. Thermodyn.— 1988.— 20, № 10.— С. 1157—1173.— Англ.

( $k_p$ ,  $\sigma_{fg}$ )

С помощью масс-спектрометра, оборудованного изготовленной из  $Al_2O_3$  и помещенной в Та лайнэр эффузионной ячейкой Кнудсена, исследована сублимация в след. двухфазных обл. системы Fe—Te:  $FeTe_{0,939}(s) + FeTe_{1,994}(s)$  ( $\beta + \epsilon$ ) (I), интервал 659—759 К;  $FeTe_{0,939}(s) + FeTe_{1,451}(s)$  ( $\beta + \delta$ ) (II), интервал 803—818 К;  $FeTe_{0,939}(s) + FeTe_{1,427}(s)$  ( $\beta + \delta$ ) (III), T-868 К. В газовой фазе над всеми системами зарегистрированы  $Te_2$  и  $Te_3$ . Зависимости измеренных парц. давлений  $Te_2$  и  $Te_3$  от т-ры над I и II представлены в виде

X. 1989, N 15

$\lg p$ (Па) =  $-A/T + B$ . Коэф.  $A$  и  $B$  составили  $11341 \pm 97$  и  $13,918 \pm 0,137$  для  $\text{Te}_2$  над I,  $14861 \pm 337$  и  $15,170 \pm 0,462$  для  $\text{Te}_3$  над I,  $8047 \pm 1536$  и  $9,640 \pm 1,895$  для  $\text{Te}_2$  над II,  $10012 \pm 2140$  и  $8,769 \pm 2,639$  для  $\text{Te}_3$  над II. Парц. давления  $\text{Te}_2$  и  $\text{Te}_3$  над III при  $T = 868$  К составили  $1,2$  Па и  $8 \cdot 10^{-4}$  Па, соотв. Из полученных данных рассчитаны  $-\Delta_f G$  кДж/моль и  $-\Delta_f H^\circ$  кДж/моль для  $\text{FeTe}_x$ :  $21,1 \pm 1,2$  и  $17,2 \pm 1,2$  при  $x = 0,811$  и  $T = 298$  К;  $27,1 \pm 1,2$  и  $24,6 \pm 1,2$  при  $x = 0,900$  и  $T = 298$  К;  $29,7 \pm 1,2$  и  $27,8 \pm 1,2$  при  $x = 0,939$  и  $T = 298$  К;  $31,0 \pm 1,2$  и  $45,6 \pm 1,2$  при  $x = 0,939$ ,  $T = 811$  К,  $\text{Te(I)}$  — станд. состояние;  $30,0 \pm 1,2$  и  $46,2 \pm 1,2$  при  $x = 0,939$ ,  $T = 868$ ,  $\text{Te(I)}$  — станд. сост.;  $58,1 \pm 10,4$  и  $65,8 \pm 10,4$  при  $x = 1,994$ ,  $T = 298$  К;  $48,4 \pm 10,4$  и  $62,0 \pm 10,4$  при  $x = 1,994$ ,  $T = 709$ ;  $41,6 \pm 1,3$  и  $54,8 \pm 5,4$  при  $x = 1,451$ ,  $T = 811$ ,  $\text{Te(I)}$  — станд. сост.;  $\Delta_f G = -41,3 \pm 1,3$  при  $x = 1,427$ ,  $T = 868$ ,  $\text{Te(I)}$  — станд. сост.

Ю. С. Ходеев

ленъ

FeTe

Prasad R. Up.

1988

J. Chem. Thermodyn., 1988, 20, N<sub>2</sub>, 453 - 456

Thermodynamics of iron telluride

(Fe<sub>0,54</sub>Te<sub>0,46</sub> in FeTe<sub>0,852</sub>)

$$\Delta H_f(298K) = -18,22 \text{ kJ} - 13,49$$

—

230 K



330 K

$$\Delta G_f(800K) = -15,86$$

$\text{kJ} \cdot \text{mol}^{-1}$

1988

 $Fe_{0,540} Te_{0,460}$ 

18 Б3047. Термодинамика теллурида железа ( $Fe_{0,540} Te_{0,460}$ ). Thermodynamics of iron telluride ( $Fe_{0,540} Te_{0,460}$ ). Prasad R., Mohapatra Smruti, Iyer V. S., Singh Ziley, Venugopal V., Sood D. D. «J. Chem. Thermodyn.», 1988, 20, № 4, 453—456 (англ.) ISSN 0021—9614 US

Эффузионным методом Кнудсена по регистрации потери веса с помощью вакуумных микровесов с чувствительностью 0,1 мкг в интервале т-р 860—958 К измерено давл. пара  $Te_2$  над двухфазной системой  $Fe(s) + Fe_{0,540} Te_{0,460}(s)$  (I). Материалом эффузионной ячейки служил графит высокой плотности. Для зависимости давл. пара  $Te_2$  над I от т-ры получено выражение  $lgP, \text{ кПа} = 7,157 - 9860,5/T (\pm 0,027)$ . Сопоставлением эксперим. результатов с лит. данными по давлению пара  $Te_2$  над  $Te(l)$  рассчитано  $\Delta_f G^0 (I, s, T)$ , кДж/моль =  $-16,956 - 0,00137 T (\pm 0,71)$ . По 2-му и 3-му законам вычислено  $-\Delta_f H_{298}^0 (I, s)$ : 18,22 и 13,49 кДж/моль, соотв. Рассмотрена устойчивость теллуридов в ряду Cr—Fe—Ni.

 $(k_p, \Delta H)$ 

Ю. С. Ходеев

Х. 1988, № 18

$Fe_{0.540} Te_{0.460}$

1988

109: 99622n Thermodynamics of iron telluride ( $Fe_{0.540}Te_{0.460}$ ).  
Prasad, R.; Mohapatra, Smriti; Iyer, V. S.; Singh, Ziley;  
Venugopal, V.; Sood, D. D. (Fuel Chem. Div., Bhabha At. Res.  
Cent., Bombay, 400085 India). *J. Chem. Thermodyn.*, 1988, 20(4),  
453-6 (Eng). The std. molar Gibbs free energy of formation of  
 $Fe_{0.540}Te_{0.460}$  was detd. by measuring the vapor pressure of Te over  
the biphasic ( $Fe + Fe_{0.540}Te_{0.460}$ ) alloy between 866 and 999 K by using  
the Knudsen-effusion mass-loss technique. A comparative study of  
the stabilities of tellurides of ASTM 316 stainless-steel components  
was made. The T's potentials required for the corrosion of 316 S.-S.  
due to the formation of  $Fe_{0.540}Te_{0.460}$ ,  $Cr_{0.454}Te_{0.546}$ , and  $Ni_{0.630}Te_{0.370}$   
at 1000 K are also compared. It is inferred that the probability of  
formation of  $Cr_{0.454}Te_{0.546}$  is the highest due to the large neg. value  
(-33.94 kJ/mol) of the free energy for this compd. at the operating  
fuel-pin temp. compared with other tellurides.

(A<sub>f</sub>f)

C.A. 1988, 109, N 12.

Fe + FeTe<sub>x</sub>

Om 30651

1988

METALLOXIDE

110: 22690w Thermochemistry and phase relationships in M-tellurium (M = iron, chromium and nickel) systems of relevance to fuel-clad interactions in fast breeder nuclear reactors - a high-temperature mass spectrometric study. Saha, Bidyut; Viswanathan, Radhakrishnan; Baba, Magapu Sai; Mathews, Cherian K. (Radiochem. Programme, Indira Gandhi Cent. At. Res., Kalpakkam, 603102 India). *High Temp. - High Pressures* 1988, 20(1), 47-58 (Eng). Thermochem. of the metal-rich tellurides of Fe, Cr, and Ni was studied by high-temp. mass spectrometry through the characterization of the vapor phase over biphasic solid mixts. of (M) + (MTex). Partial pressures of Te and Te<sub>2</sub> were measured as functions of temp. Studies included measurements over all relevant telluride phases, each stable at a different temp. For each nonstoichiometric telluride, Gibbs energy and enthalpy of formation were derived at the compn. corresponding to the metal-rich boundary. Tellurium potentials necessary for chem. attack of AISI 316 stainless steel were computed and compared with those likely to prevail in the fuel pins of fast breeder reactors.

(72) 18



C.A. 1989, 110, N.Y.

Fe/Te

1990

{ 15 Б3074. Система Fe—Te (железо—теллур). The Fe—Te (iron—tellurium) system / Okamoto H., Tanner L. E. // Bull. Alloy Phase Diagr.— 1990.— 11, № 4.— С. 371—376.— Англ.

Обзор данных о системе Fe—Te. Рекомендованы след. значения (°C): т. пл.  $\delta$ -Fe 1538, Te 449,57; фазовые переходы  $\delta$ -Fe  $\rightleftharpoons$   $\gamma$ -Fe 1394,  $\gamma$ -Fe  $\rightleftharpoons$   $\alpha$ -Fe 912; перитектич. превращения:  $L + \alpha\text{-Fe} \rightleftharpoons \beta'$  (914),  $L + \beta' \rightleftharpoons$  (812),  $L + \delta \rightleftharpoons \delta'$  (766),  $L + \delta' \rightleftharpoons \varepsilon$  (649); эвтектика  $L \rightleftharpoons \varepsilon +$  + Te (67,4 ат.% Te, 448); перитектоидные превращения:  $\alpha\text{-Fe} + \beta' \rightleftharpoons \beta$  (46,5 ат.% Te, 844),  $\beta' + \delta \rightleftharpoons \gamma$  (55 ат.% Te, 809); эвтектоидные превращения:  $\delta' \rightleftharpoons \beta + \varepsilon$  (66,6 ат.% Te, 519),  $\beta' \rightleftharpoons \beta + \gamma$  (47,5 ат.% Te, 800),  $\gamma \rightleftharpoons \beta + \delta$  (48 ат.% Te, 636),  $\delta \rightleftharpoons \beta + \delta'$  (48 ат.% Te, 565  $\pm$  15). Приведены данные о крист. структуре, рентгенометрич., термодинамич. и магнитных св-вах. Библ. 36.

Б. Г. Коршунов

X. 1991, N 15

*Fe<sub>2</sub>Te*

dm 34980

1990

) 10 Б3013. Стандартные мольные энталпии образования при 298,15 К теллурида железа  $\text{FeTe}_{0,5}$  и теллурида никеля  $\text{Ni}_{0,595}\text{Te}_{0,405}$ . Standard molar enthalpies of formation at the temperature 298,15 K of iron telluride ( $\text{FeTe}_{0,9}$ ) and of nickel telluride ( $\text{Ni}_{0,595}\text{Te}_{0,405}$ ) / Shukla N. K., Prasad R., Roy K. N., Sood D. D. // J. Chem. Thermodyn.— 1990.— № 22, № 9.— C. 899—903.— Англ.

*ΔHf*

Энталпии образования  $\text{FeTe}_{0,9}$  (I) и  $\text{Ni}_{0,595}\text{Te}_{0,405}$  (II) измерены в калориметре р-reния при 298,15 К. Р-reние проводилось в р-pe 3,0 M  $\text{H}_2\text{SO}_4 + 0,10$  M  $\text{K}_2\text{Cr}_2\text{O}_7 + 0,01$  M  $\text{MnSO}_4$  для I и 7,0 M  $\text{HNO}_3 + 5\%$   $\text{H}_2\text{SO}_4$  для II. Синтез I и II производился сплавлением компонентов в кварц. ампулах при 1300 К, однофазность продуктов подтверждена РФА.  $\Delta_fH$  I-и II вычислены по разности энталпий р-reния в-в и мех. смесей компонентов. Рекомендованы  $\Delta_fH$  (I; 298 K) =  $-23,46 \pm 0,53$  кДж/моль и  $\Delta_fH$  (II, 298 K) =  $-26,04 \pm 0,36$  кДж/моль.

Л. А. Резницкий

X. 1991, N/0

*Ni<sub>3</sub>Te<sub>2</sub>*

FeTe

1990

IM 34980

113: 179303e Standard molar enthalpies of formation at the temperature 298.15 K of iron telluride ( $\text{FeTe}_{0.9}$ ) and of nickel telluride ( $\text{Ni}_{0.55}\text{Te}_{0.45}$ ). Shukla, N. K.; Prasad, R.; Roy, K. N.; Sood, D. D. (Fuel Chem. Div., Bhabha Res. Cent., Bombay, 400 085, India). *J. Chem. Thermodyn.*, 1990, 22(9), 899-903 (Eng.). The std. molar enthalpies of formation  $\Delta_f H_m^\circ$  of  $\text{FeTe}_{0.9}$  and  $\text{Ni}_{0.55}\text{Te}_{0.45}$  were obtained by measuring the enthalpy of reaction of each of the resp. alloys and of their synthetic mixts. in the same solvent using an isoperibol soln. calorimeter.

( $\Delta H_f$ )

④  $\text{NiTe}_x$



C.A. 1990, 113, N.20

Fe /<sup>17</sup>Te

1992

1 Б3114. Исследование испарения монотеллурида железа. Study of the vaporization behaviour of iron monotel-luride /Piacente V., Scardala P., Ferro D. //J. Alloys and Compounds .—1992 .—184 ,№ 2 .—С. 285—295 .—Англ.

Торсионно-эффузионным методом исследована т-рная зависимость давл. пара в системе Fe—Te в области т-р. от 753 до 1106 К и области конц-ий, отвечающей  $\beta$ -фазе — от стехиометрич.  $\underline{\text{FeTe}}$  до  $\underline{\text{FeTe}_{0,85}}$ . Метод основан на измерении молек. веса истекающего пара с помощью вакуумных крутильных микровесов. Для процессов испарения  $33,3\text{FeTe(тв.)} \rightarrow 33,3\text{FeTe}_{0,94}\text{(тв.)} + \text{Te}_2\text{(газ)}$  и  $2,35\text{FeTe}_{0,85}\text{(тв.)} \rightarrow 2,35\epsilon\text{—Fe(тв.)} + \text{Te}_2\text{(газ)}$  определены зависимости, связывающие величины  $\lg p$  с т-рой. Энталпии этих р-ций составляют  $\Delta H_1^0 = 180,3 \pm 10$  кДж/моль и  $\Delta H_{298}^0 = 209,5 \pm$ .

$P, k_p, \Delta H,$   
 $\Delta H_f$

X. 1993, N1

$\pm 2,0$  кДж/моль соотв. Определена также теплота образования  $\text{FeTe}_{0,85}$ , составившая  $\Delta H^0_{298} = 17,5 \pm 2,0$  кДж/моль.

Е. М.

1992

FeTe

FeTe<sub>0,85</sub>

11 E507. Исследование испарения монотеллурида железа. Study of the vaporization behaviour of iron monotelluride / Piacente V., Scardala P., Ferre D. // J. Alloys and Compounds.— 1992.— 184, № 2.— С. 285—295.— Англ.

Торсионно-эффузионный метод применен для определения давления пара Te над составами FeTe (I) и FeTe<sub>0,85</sub> (II), граничащими с  $\beta$ -фазой переменного состава в системе Fe—Te. Измерения выполнены в интервале 753—1106 К. Доминирующей молекулой в газовой фазе является Te<sub>2</sub>. Для процесса 33,3 I (тв.) = = 33,3 FeTe<sub>0,94</sub> (тв.) + Te<sub>2</sub> (г)  $\lg p$  (кПа) =  $(8,37 \pm 0,45) - (9353 \pm 376)/T$ , для процесса 2,35 II (тв.) = 2,35  $\alpha$  — Fe (тв.) + Te<sub>2</sub> (г)  $\lg p$  (кПа) =  $(7,76 \pm 0,10) - (10\,229 \pm 109)/T$ . Расчет  $\Delta_{\text{var}} H$  I (тв.) = 180,3  $\pm$  10 кДж/моль выполнен по 2-му закону, тогда как вычисления по 3-му закону приводят к нереальной величине (300 кДж/

(k<sub>p</sub>, ΔH<sub>vap</sub>, ΔH<sub>f</sub>)

φ 1992, N 11-12

/моль), которая является следствием большой ошибки вычислений из-за близких значений термодинамич. ф-ций I и  $\text{FeTe}_{0,94}$ . Среднее из расчетов по 2-му и 3-му законам приводит к  $\Delta_{\text{vap}} H \text{ II (тв.)} = 209,5 \pm 2,0$  кДж/моль. Обнаружены особенности испарения при 860 К, связанные с улетучиванием  $\text{Te}_2$  из  $\beta$ -фазы. Анализ эксперим. данных проведен с учетом диаграммы состояния Fe—Te. Установлено, что состав  $\beta$ -фазы в области, богатой Fe, отвечает 46 ат% Te, т. е. соответствует II. Вычислена теплота образования  $\Delta_f H_{298} \text{ II} = 17,5 \pm 2,0$  кДж/моль.

$\text{FeTe}$ ,  $\text{FeTe}_{0.85}$

1992

(DfH)

111: 239760a Study of the vaporization behavior of iron monotelluride. Piacente, V.; Scardula, P.; Ferro, D. (Dip. Chim., Univ. "La Sapienza", Rome, Italy). *J. Alloys Compd.* 1992, 184(2), 285-95 (Eng). The torsion-diffusion method was used to measure the total vapor pressure of iron monotelluride  $\beta$ -phase at two boundary compn.,  $\text{FeTe}$  and  $\text{FeTe}_{0.85}$ . The heat of evapn. was also measured. The heat of formation of  $\text{FeTe}_{0.85}$  was derived.

C. A. 1992, 117, N 24

Terry,iegh Fe

1993

119: 57963w Thermochemistry of transition metal tellurides of interest in nuclear technology. Mathews, C. K. (Radiochem. Programme, Indira Gandhi Cent. At. Res., Kalpakkam, 603 102 India). *J. Nucl. Mater.* 1993, 201, 99-107 (Eng). The binary systems of Te with the alloying constituents of stainless steel, namely, Fe, Cr, Ni, Mo, and Mn, were investigated by using high-temp. mass spectrometry. The partial pressures of  $\text{Te}_2$  and Te, which were the only species detected in the vapor phase in all the cases except  $\text{MnTe}$ , were obtained as a function of temp. and compns. All the telluride phases were nonstoichiometric, and their homogeneity ranged broader than hitherto recognized. Thermodyn. parameters such as enthalpy of vaporization, enthalpy of formation and Gibbs free energy of formation were deduced for various compns. The threshold Te potential necessary for the corrosion of the cladding was calcd. for each alloying constituent, and these data were compared with the estd. Te potential in the fuel-clad gap of FBR fuel pins. The role of fission-product Te in the internal corrosion of the cladding is discussed in view of the above data.

(44)

(X)

Terry,iegh Fe  
C. A. 1993, 119, N6

F: Fe<sub>2</sub>TeO<sub>6</sub>

P: 1

Om 40733

2001

134:375258 Structural and thermochemical studies on Cr<sub>2</sub>TeO<sub>6</sub> and Fe<sub>2</sub>TeO<sub>6</sub>. Krishnan, K.; Singh Mudher, K. D.; Rama Rao, G. A.; Venugopal, V. Fuel Chemistry Division, Bhabha Atomic Research Centre, Mumbai, India. J. Alloys Compd. (2001), 316(1-2), 264-268. in English.

Cr<sub>2</sub>TeO<sub>6</sub> and Fe<sub>2</sub>TeO<sub>6</sub> were prepd. by the solid-state reaction route. The crystal structure was derived for both compds. from x-ray powder diffraction data. Cr<sub>2</sub>TeO<sub>6</sub> and Fe<sub>2</sub>TeO<sub>6</sub> are isostructural and have the trirutile structure. The Gibbs free energy of formation ( $\Delta_f G^\circ$ ) for Cr<sub>2</sub>TeO<sub>6</sub> and Fe<sub>2</sub>TeO<sub>6</sub> was obtained from vapor pressure data employing the Knudsen Effusion Mass Loss technique (KEML) and is given by the relation  $\Delta_f G^\circ_{\text{Cr}_2\text{TeO}_6(s)} = (-1651.6 + 0.5683T) \pm 15$  kJ/mol (1014-1100 K)  $\Delta_f G^\circ_{\text{Fe}_2\text{TeO}_6(s)} = (-1234.3 + 0.4729T) \pm 15$  kJ/mol (979-1052 K).